

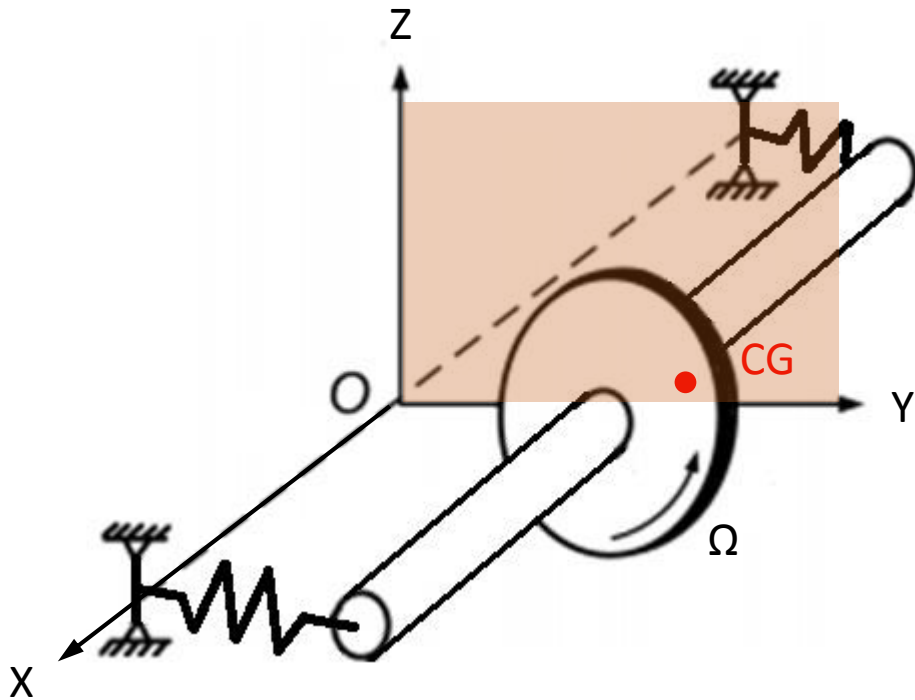
# SEM 5903 – Dinâmica de Sistemas Rotativos

AULA 3 – Rotor Rígido sobre Mancais Isotrópicos  
*(efeito giroscópico)*

Prof. Rodrigo Nicoletti



# Modelo Matemático do Rotor Rígido sobre Mancal Ortotrópico (aula anterior)



## Hipóteses:

- rotor centrado no eixo (equidistante dos mancais)
- **eixo rígido**
- eixo tem amortecimento  $d$
- massa do eixo muito menor que massa do disco
- CG do disco não alinhado com centro do disco
- **mancais com rigidez ortotrópica ( $k_y \neq k_z$ )**

*Matriz de rigidez depende da posição do eixo!!!*

$$\begin{bmatrix} m & 0 \\ 0 & m \end{bmatrix} \begin{Bmatrix} \ddot{y}_1 \\ \ddot{z}_1 \end{Bmatrix} + \begin{bmatrix} d & -2m\Omega \\ 2m\Omega & d \end{bmatrix} \begin{Bmatrix} \dot{y}_1 \\ \dot{z}_1 \end{Bmatrix} +$$

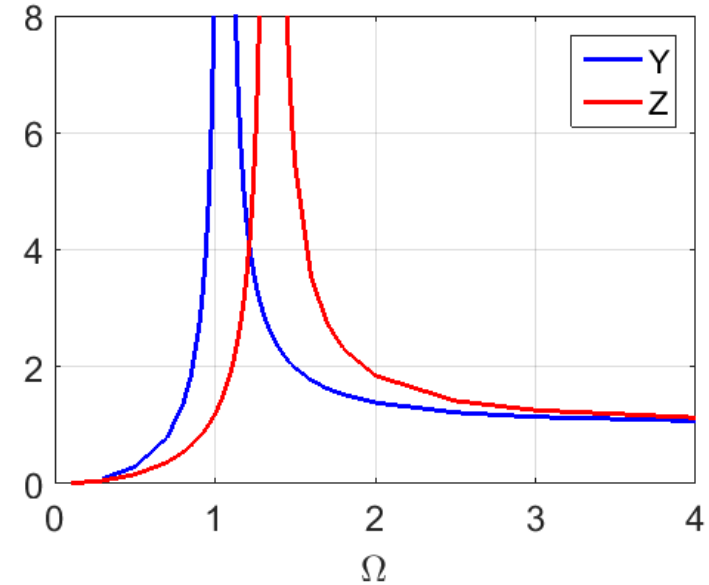
$$\begin{bmatrix} (k_y \cos^2 \phi + k_z \sin^2 \phi - m\Omega^2) & [(k_z - k_y) \sin \phi \cos \phi - d\Omega - m\dot{\Omega}] \\ [(k_z - k_y) \sin \phi \cos \phi + d\Omega + m\dot{\Omega}] & (k_y \sin^2 \phi + k_z \cos^2 \phi - m\Omega^2) \end{bmatrix} \begin{Bmatrix} y_1 \\ z_1 \end{Bmatrix} = \begin{Bmatrix} me\Omega^2 \\ -me\dot{\Omega} \end{Bmatrix}$$

*Equação de Movimento do Rotor Rígido sobre Mancal Flexível Ortotrópico*

# Modelo Matemático do Rotor Rígido sobre Mancal Ortotrópico (aula anterior)

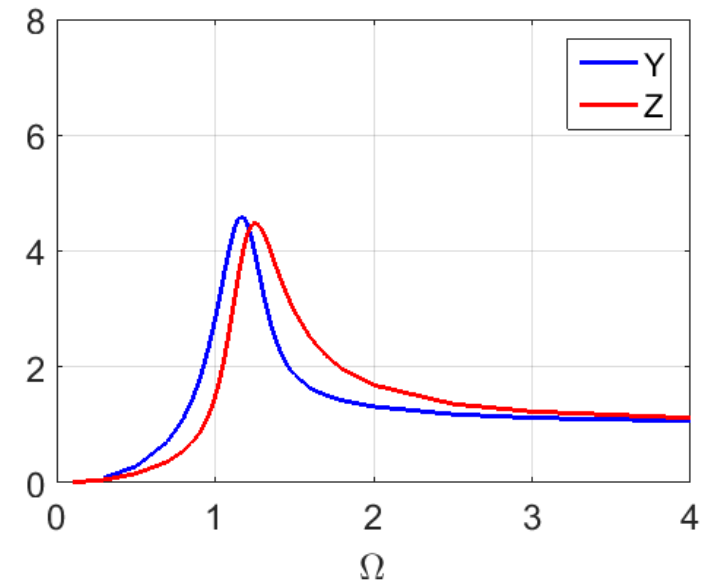
## Rotor Rígido em Mancal Ortotrópico (baixo amortecimento)

- Apresenta órbitas elípticas
- Duas velocidades críticas (uma para cada direção)
- **Precessão Direta** em  $\Omega < \omega_y$  e  $\Omega > \omega_z$   
(órbita no mesmo sentido da rotação do eixo)
- **Precessão Retrógrada** em  $\omega_y < \Omega < \omega_z$   
(órbita em sentido contrário ao da rotação do eixo)
- Autocentragem em  $\Omega \gg \omega_z$

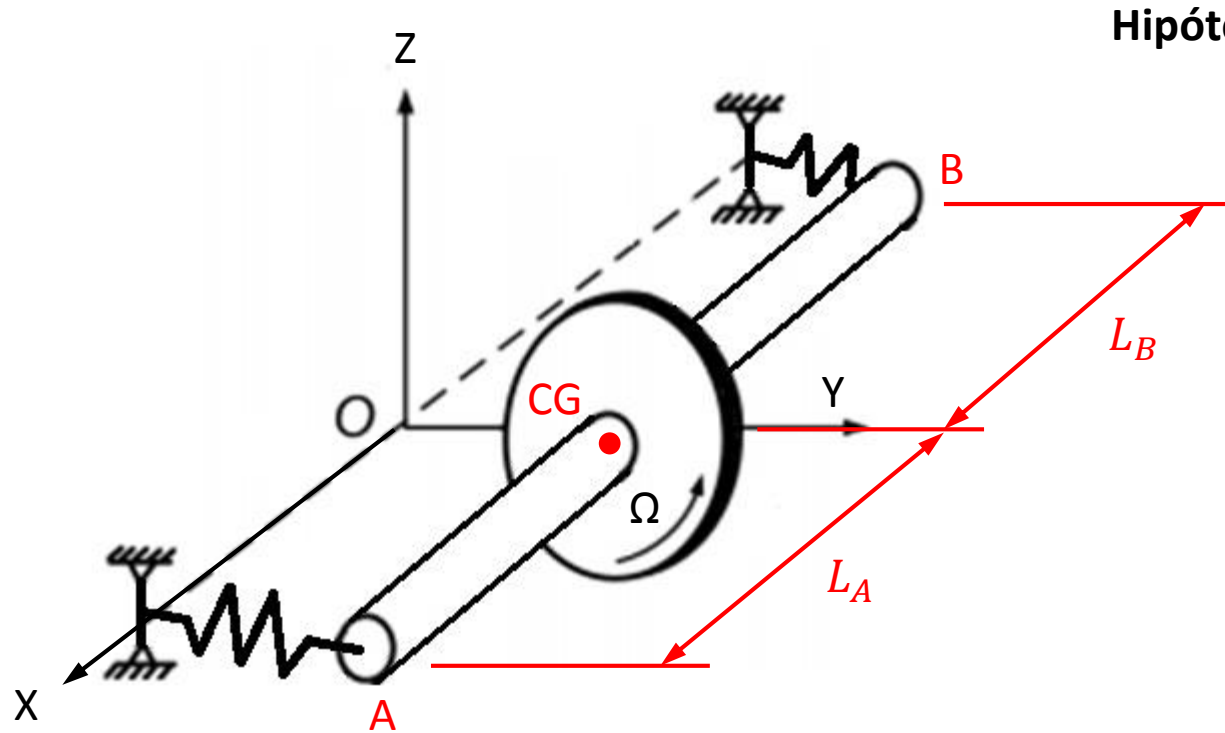


## Rotor Rígido em Mancal Ortotrópico (alto amortecimento)

- Praticamente uma velocidade crítica apenas
- **Não ocorre precessão retrógrada**
- Apresenta órbitas elípticas
- Autocentragem em  $\Omega \gg \omega_z$

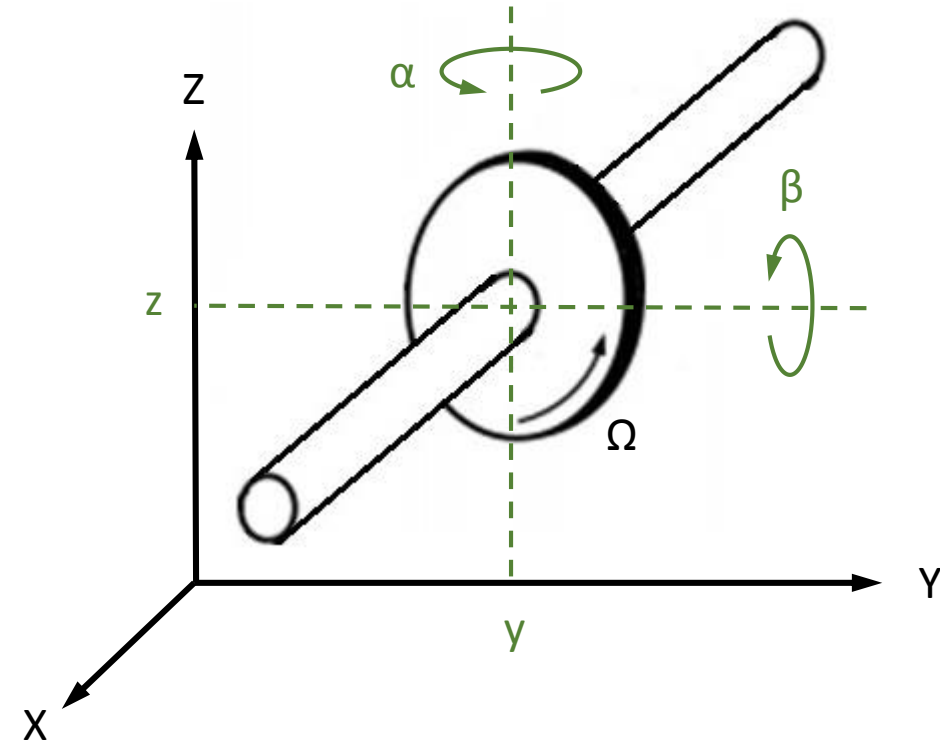


# Modelo Matemático do Rotor Rígido sobre Mancais Isotrópicos

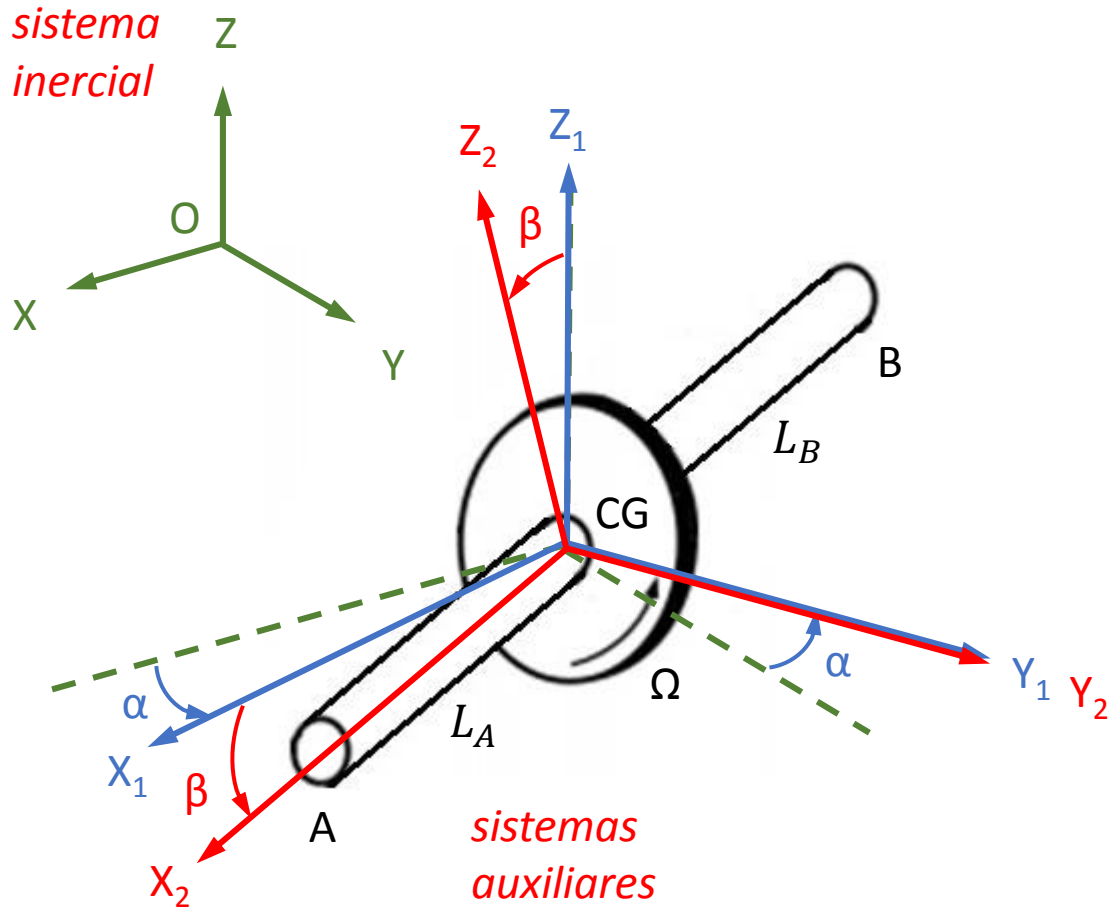


Hipóteses:

- rotor não centrado no eixo ( $L_A \neq L_B$ )
- eixo rígido
- mancais com rigidez  $k$  amortecimento  $d$
- CG do disco alinhado com centro do disco
- mancais isotrópicos ( $k_y = k_z, d_y = d_z$ )



# Modelo Matemático do Rotor Rígido sobre Mancais Isotrópicos



**Matrizes de Transformação:**

$${}_{B1}\mathbf{v} = \mathbf{T}_\alpha {}_I\mathbf{v} \quad \text{onde:} \quad \mathbf{T}_\alpha = \begin{bmatrix} \cos \alpha & \sin \alpha & 0 \\ -\sin \alpha & \cos \alpha & 0 \\ 0 & 0 & 1 \end{bmatrix}$$

$${}_{B2}\mathbf{v} = \mathbf{T}_\beta {}_{B1}\mathbf{v} \quad \text{onde:} \quad \mathbf{T}_\beta = \begin{bmatrix} \cos \beta & 0 & -\sin \beta \\ 0 & 1 & 0 \\ \sin \beta & 0 & \cos \beta \end{bmatrix}$$

**Velocidades Angulares:**

$${}_I\dot{\boldsymbol{\alpha}} = {}_{B1}\dot{\boldsymbol{\alpha}} = \begin{Bmatrix} 0 \\ 0 \\ \dot{\alpha} \end{Bmatrix} \quad {}_{B1}\dot{\boldsymbol{\beta}} = {}_{B2}\dot{\boldsymbol{\beta}} = \begin{Bmatrix} 0 \\ \dot{\beta} \\ 0 \end{Bmatrix} \quad {}_{B2}\dot{\boldsymbol{\phi}} = \begin{Bmatrix} \Omega \\ 0 \\ 0 \end{Bmatrix}$$

**Vetores Posição:**

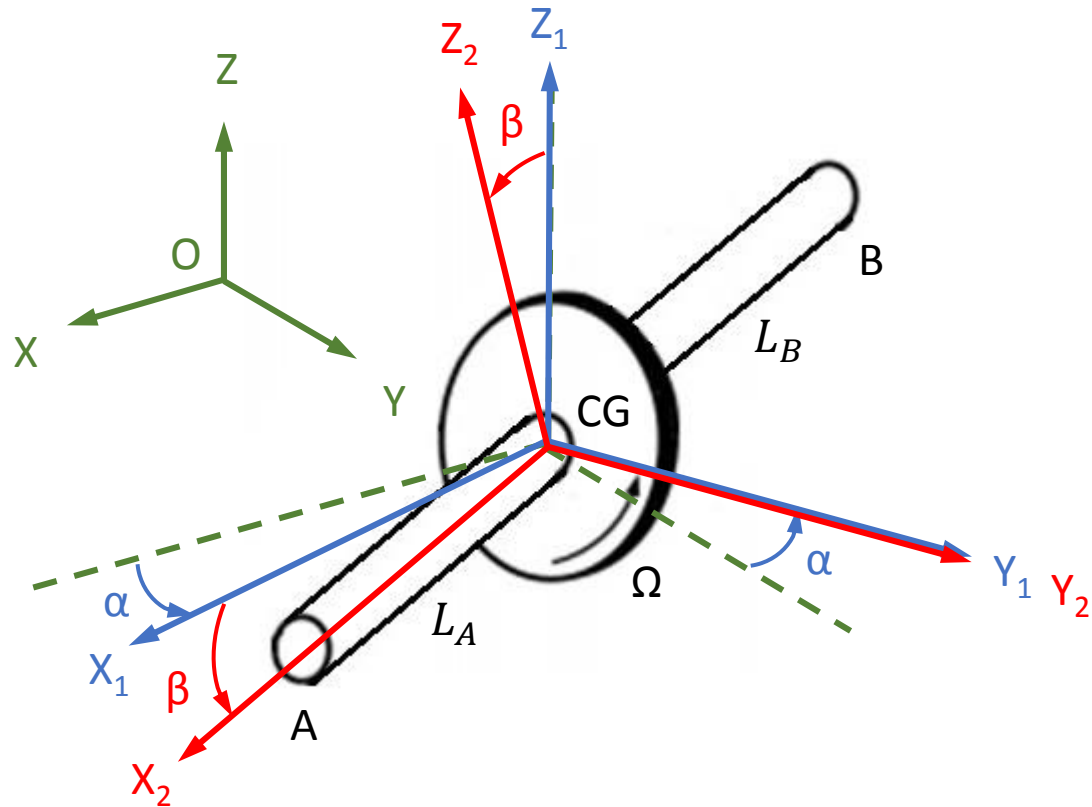
$${}_I\mathbf{r}_{CG} = \begin{Bmatrix} 0 \\ y \\ z \end{Bmatrix} \quad {}_{B2}\mathbf{r}_{A/CG} = \begin{Bmatrix} L_A \\ 0 \\ 0 \end{Bmatrix} \quad {}_{B2}\mathbf{r}_{B/CG} = \begin{Bmatrix} -L_B \\ 0 \\ 0 \end{Bmatrix}$$

# Modelo Matemático do Rotor Rígido sobre Mancais Isotrópicos

Equação de Newton:

$$m \, {}_I \mathbf{a}_{CG} = {}_I \mathbf{f}_{mancal} = -k \, {}_I \mathbf{r}_A - d \, {}_I \mathbf{v}_A - k \, {}_I \mathbf{r}_B - d \, {}_I \mathbf{v}_B$$

Mas: 
$${}_I \mathbf{a}_{CG} = \frac{d^2}{dt^2} ({}_I \mathbf{r}_{CG}) = \begin{Bmatrix} 0 \\ \ddot{y} \\ \ddot{z} \end{Bmatrix}$$



$${}_I \mathbf{r}_A = {}_I \mathbf{r}_{CG} + \underbrace{{}_I \mathbf{r}_{A/CG}}_{\mathbf{T}_\alpha^T \mathbf{T}_\beta^T \mathbf{T}_{B2}^T \mathbf{r}_{A/CG}} = \begin{Bmatrix} L_A \cos \alpha \cos \beta \\ y + L_A \sin \alpha \cos \beta \\ z - L_A \sin \beta \end{Bmatrix}$$

$${}_I \mathbf{r}_B = {}_I \mathbf{r}_{CG} + \underbrace{{}_I \mathbf{r}_{B/CG}}_{\mathbf{T}_\alpha^T \mathbf{T}_\beta^T \mathbf{T}_{B2}^T \mathbf{r}_{B/CG}} = \begin{Bmatrix} -L_B \cos \alpha \cos \beta \\ y - L_B \sin \alpha \cos \beta \\ z + L_B \sin \beta \end{Bmatrix}$$

# Modelo Matemático do Rotor Rígido sobre Mancais Isotrópicos

Então:

$${}_I \mathbf{v}_A = \frac{d}{dt} ({}_I \mathbf{r}_A) = \begin{pmatrix} -L_A \dot{\alpha} \sin \alpha \cos \beta - L_A \dot{\beta} \cos \alpha \sin \beta \\ \dot{y} + L_A \dot{\alpha} \cos \alpha \cos \beta - L_A \dot{\beta} \sin \alpha \sin \beta \\ \dot{z} - L_A \dot{\beta} \cos \beta \end{pmatrix}$$

$${}_I \mathbf{v}_B = \frac{d}{dt} ({}_I \mathbf{r}_B) = \begin{pmatrix} L_B \dot{\alpha} \sin \alpha \cos \beta + L_B \dot{\beta} \cos \alpha \sin \beta \\ \dot{y} - L_B \dot{\alpha} \cos \alpha \cos \beta + L_B \dot{\beta} \sin \alpha \sin \beta \\ \dot{z} + L_B \dot{\beta} \cos \beta \end{pmatrix}$$

Portanto, substituindo na equação de Newton:

$$\begin{cases} m\ddot{y} + 2d\dot{y} + d(L_A - L_B)\dot{\alpha} \cos \alpha \cos \beta - d(L_A - L_B)\dot{\beta} \sin \alpha \sin \beta + 2ky + k(L_A - L_B) \sin \alpha \cos \beta \\ m\ddot{z} + 2d\dot{z} - d(L_A - L_B)\dot{\beta} \cos \beta + 2kz - k(L_A - L_B) \sin \beta \end{cases}$$

Linearizando:

$$\begin{aligned} \sin \theta &\approx \theta \\ \cos \theta &\approx 1 \\ \theta \dot{\theta} &\approx 0 \end{aligned}$$



$$\begin{cases} m\ddot{y} + 2d\dot{y} + d(L_A - L_B)\dot{\alpha} + 2ky + k(L_A - L_B)\alpha & (1) \\ m\ddot{z} + 2d\dot{z} - d(L_A - L_B)\dot{\beta} + 2kz - k(L_A - L_B)\beta & (2) \end{cases}$$

*Equações Linearizadas*

*(válido para  $\theta < 20^\circ$  e baixas frequências)*

# Modelo Matemático do Rotor Rígido sobre Mancais Isotrópicos

Conservação da Qtde. de Movimento Angular:

$$\frac{d}{dt}({}_{B2}\mathbf{H}_{CG}) + {}_{B2}\boldsymbol{\Omega}_2 \times {}_{B2}\mathbf{H}_{CG} = \sum {}_{B2}\mathbf{M}_{CG}$$

Vetor Qtde. de Movimento Angular em relação ao CG:

$${}_{B2}\mathbf{H}_{CG} = {}_{B2}\mathbf{I}_{CG} {}_{B2}\boldsymbol{\omega}_R$$

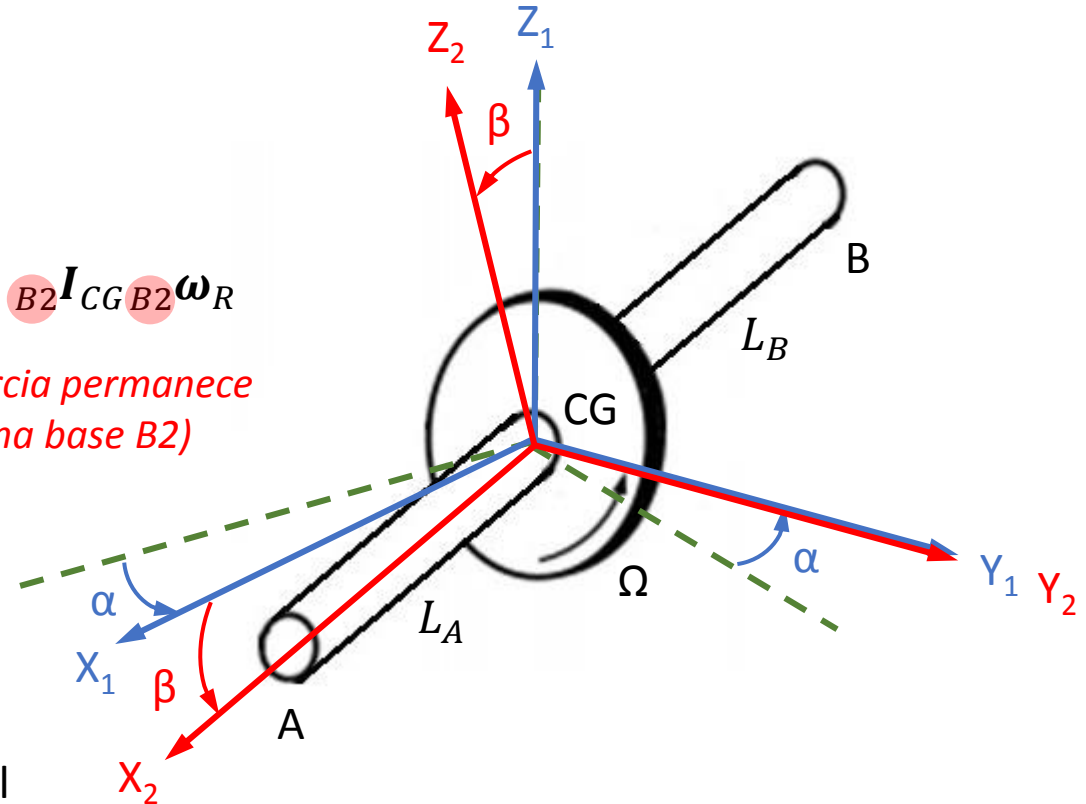
(tensor de inércia permanece constante na base B2)

Então, o tensor de inércia:

$${}_{B2}\mathbf{I}_{CG} = \begin{bmatrix} I_p & & \\ & I_t & \\ & & I_t \end{bmatrix} = cte.$$

$I_p$  = momento de inércia polar

$I_t$  = momento de inércia transversal



A velocidade angular do rotor:

$${}_{B2}\boldsymbol{\omega}_R = \underbrace{{}_{B2}\dot{\boldsymbol{\alpha}}}_{\mathbf{T}_{\beta B1}\dot{\boldsymbol{\alpha}}} + {}_{B2}\dot{\boldsymbol{\beta}} + {}_{B2}\dot{\boldsymbol{\phi}} = \begin{Bmatrix} \Omega - \dot{\alpha} \sin \beta \\ \dot{\beta} \\ \dot{\alpha} \cos \beta \end{Bmatrix}$$



# Modelo Matemático do Rotor Rígido sobre Mancais Isotrópicos

Portanto:

$${}_{B2}\mathbf{H}_{CG} = \begin{Bmatrix} I_p \Omega - I_p \dot{\alpha} \sin \beta \\ I_t \dot{\beta} \\ I_t \dot{\alpha} \cos \beta \end{Bmatrix}$$

Conservação da Qtde. de Movimento Angular

$$\frac{d}{dt} ({}_{B2}\mathbf{H}_{CG}) + {}_{B2}\boldsymbol{\Omega}_2 \times {}_{B2}\mathbf{H}_{CG} = \sum {}_{B2}\mathbf{M}_{CG}$$

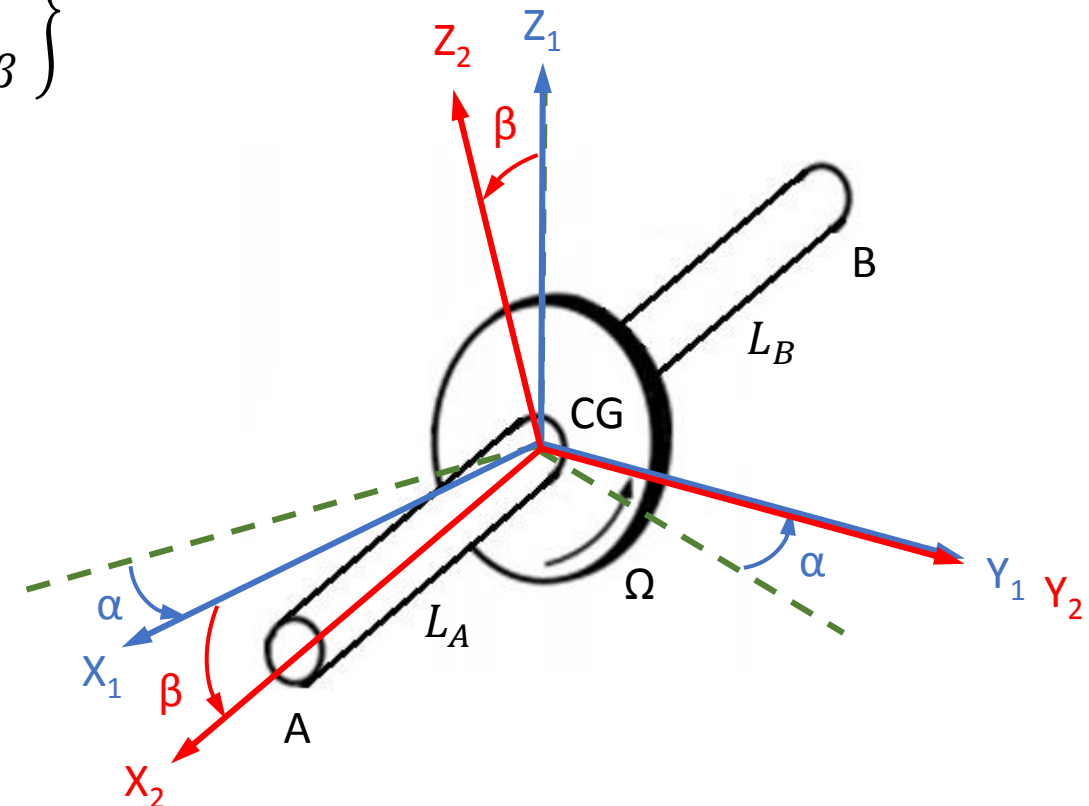
Velocidade Angular da Base B2:  ${}_{B2}\boldsymbol{\Omega}_2 = {}_{B2}\dot{\boldsymbol{\alpha}} + {}_{B2}\dot{\boldsymbol{\beta}} = \begin{Bmatrix} -\dot{\alpha} \sin \beta \\ \dot{\beta} \\ \dot{\alpha} \cos \beta \end{Bmatrix}$

Somatório de Momentos em relação ao CG:

$$\sum {}_{B2}\mathbf{M}_{CG} = {}_{B2}\mathbf{r}_{A/CG} \times {}_{B2}\mathbf{f}_A + {}_{B2}\mathbf{r}_{B/CG} \times {}_{B2}\mathbf{f}_B$$

Onde:  ${}_I\mathbf{f}_A = -k {}_I\mathbf{r}_A - d {}_I\mathbf{v}_A$  (forças no mancal em A)

${}_I\mathbf{f}_B = -k {}_I\mathbf{r}_B - d {}_I\mathbf{v}_B$  (forças no mancal em B)



# Modelo Matemático do Rotor Rígido sobre Mancais Isotrópicos

Assim, substituindo-se os vetores na Eq. Conserv. Qtde. Mov. Angular e linearizando:

$$\begin{aligned} \sin \theta &\approx \theta \\ \cos \theta &\approx 1 \\ \theta \dot{\theta} &\approx 0 \end{aligned}$$

$$\begin{cases} I_t \ddot{\beta} + I_p \Omega \dot{\alpha} - d(L_A - L_B) \dot{z} + d(L_A^2 + L_B^2) \dot{\beta} - k(L_A - L_B) z + k(L_A^2 + L_B^2) \beta = 0 & (3) \\ I_t \ddot{\alpha} - I_p \Omega \dot{\beta} + d(L_A - L_B) \dot{y} + d(L_A^2 + L_B^2) \dot{\alpha} + k(L_A - L_B) y + k(L_A^2 + L_B^2) \alpha = 0 & (4) \end{cases}$$

*Equações Linearizadas*

Escrevendo-se de forma matricial as equações (1) a (4):

$$\underbrace{\begin{bmatrix} m & & & \\ & m & & \\ & & I_t & \\ & & & I_t \end{bmatrix}}_{\text{matriz de inércia}} \begin{Bmatrix} \ddot{y} \\ \ddot{z} \\ \ddot{\alpha} \\ \ddot{\beta} \end{Bmatrix} + \underbrace{\begin{bmatrix} 2d & & d(L_A - L_B) & \\ & 2d & & -d(L_A - L_B) \\ d(L_A - L_B) & & d(L_A^2 + L_B^2) & \\ & -d(L_A - L_B) & & d(L_A^2 + L_B^2) \end{bmatrix}}_{\text{matriz de amortecimento}} + \underbrace{\Omega \begin{bmatrix} & & & \\ & & & \\ & & & -I_p \\ & & I_p & \end{bmatrix}}_{\text{MATRIZ GIROSCÓPICA}} \begin{Bmatrix} \dot{y} \\ \dot{z} \\ \dot{\alpha} \\ \dot{\beta} \end{Bmatrix} + \underbrace{\begin{bmatrix} 2k & & k(L_A - L_B) & \\ & 2k & & -k(L_A - L_B) \\ k(L_A - L_B) & & k(L_A^2 + L_B^2) & \\ & -k(L_A - L_B) & & k(L_A^2 + L_B^2) \end{bmatrix}}_{\text{matriz de rigidez}} \begin{Bmatrix} y \\ z \\ \alpha \\ \beta \end{Bmatrix} = \begin{Bmatrix} 0 \\ 0 \\ 0 \\ 0 \end{Bmatrix}$$

# Modelo Matemático do Rotor Rígido sobre Mancais Isotrópicos

Assim:

$$M\ddot{s} + (D + \Omega G)\dot{s} + Ks = 0$$

*Equações Linearizadas*

**Modelagem no Espaço de Estado:** 
$$\begin{bmatrix} M & \mathbf{0} \\ \mathbf{0} & M \end{bmatrix} \begin{Bmatrix} \ddot{s} \\ \dot{s} \end{Bmatrix} + \begin{bmatrix} (D + \Omega G) & K \\ -M & \mathbf{0} \end{bmatrix} \begin{Bmatrix} \dot{s} \\ s \end{Bmatrix} = \begin{Bmatrix} \mathbf{0} \\ \mathbf{0} \end{Bmatrix} \Rightarrow \bar{M}\dot{u} + \bar{K}(\Omega)u = 0 \quad (5)$$

Considere uma solução harmônica:  $u(t) = Ue^{i\omega t}$

Substituindo na eq.(5), chega-se ao **problema de autovalor do sistema**:  $[i\omega\bar{M} + \bar{K}(\Omega)]U = 0$

Cuja solução nos dá os **autovalores** do sistema:

$$\omega_j = \omega_j(\Omega) \quad \text{frequências naturais}$$

E os **autovetores** do sistema:

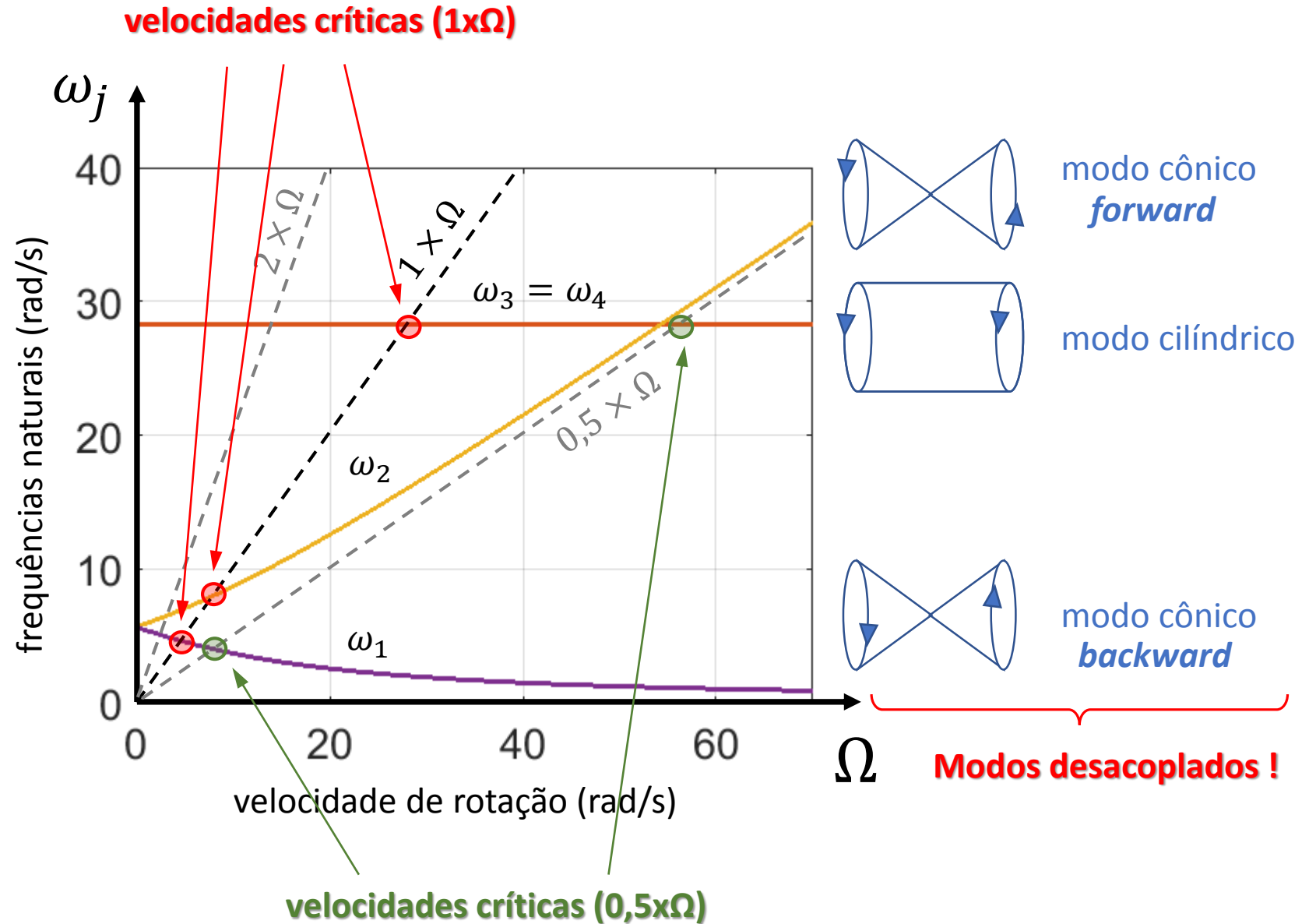
$$U_j = U_j(\Omega) \quad \text{modos de vibrar}$$

**Função da  
velocidade de  
rotação  $\Omega$  !!!**

# Diagrama de Campbell (rotor simétrico: $L_A = L_B$ )

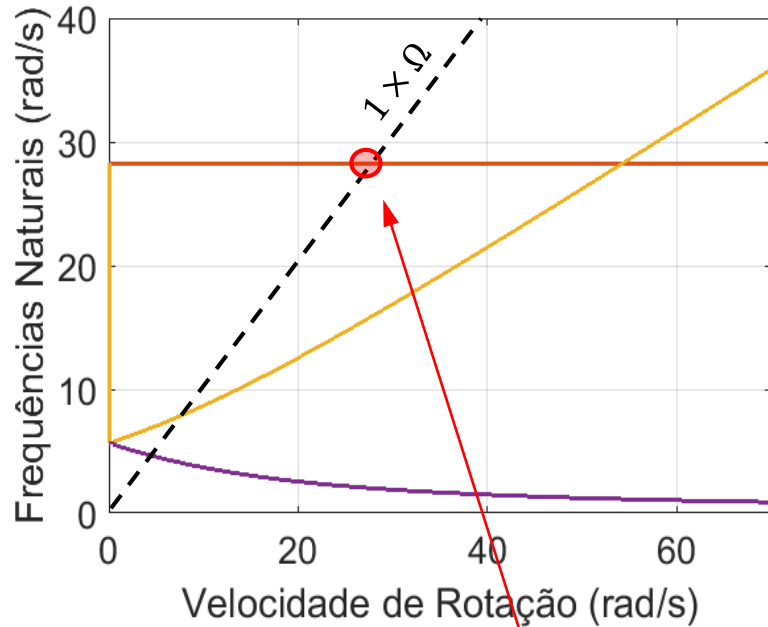
$L_A = L_B = 0,2 \text{ m}$   
 $I_p = 0,5 I_t$   
 $m = 1 \text{ kg}$   
 $k = 400 \text{ N/m}$   
 $d = 0.1 \text{ N.s/m}$

- Frequências naturais não são constantes
- Velocidades críticas dependem da harmônica de rotação



# Resposta ao Desbalanço (rotor simétrico: $L_A = L_B$ )

**Diagrama de Campbell**



**velocidade crítica**  
(apenas modo cilíndrico !!!)

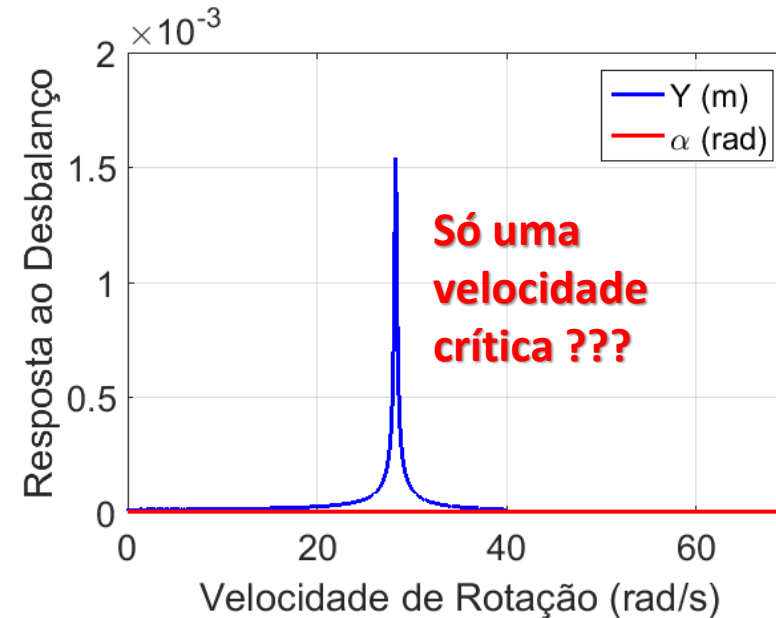
- força de desbalanço não excita deslocamentos angulares do eixo no caso  $L_A = L_B$

Equações linearizadas:

$$M\ddot{\mathbf{s}} + (D + \Omega G)\dot{\mathbf{s}} + K\mathbf{s} = \begin{Bmatrix} m_d e \Omega^2 \cos \Omega t \\ m_d e \Omega^2 \sin \Omega t \\ 0 \\ 0 \end{Bmatrix}$$

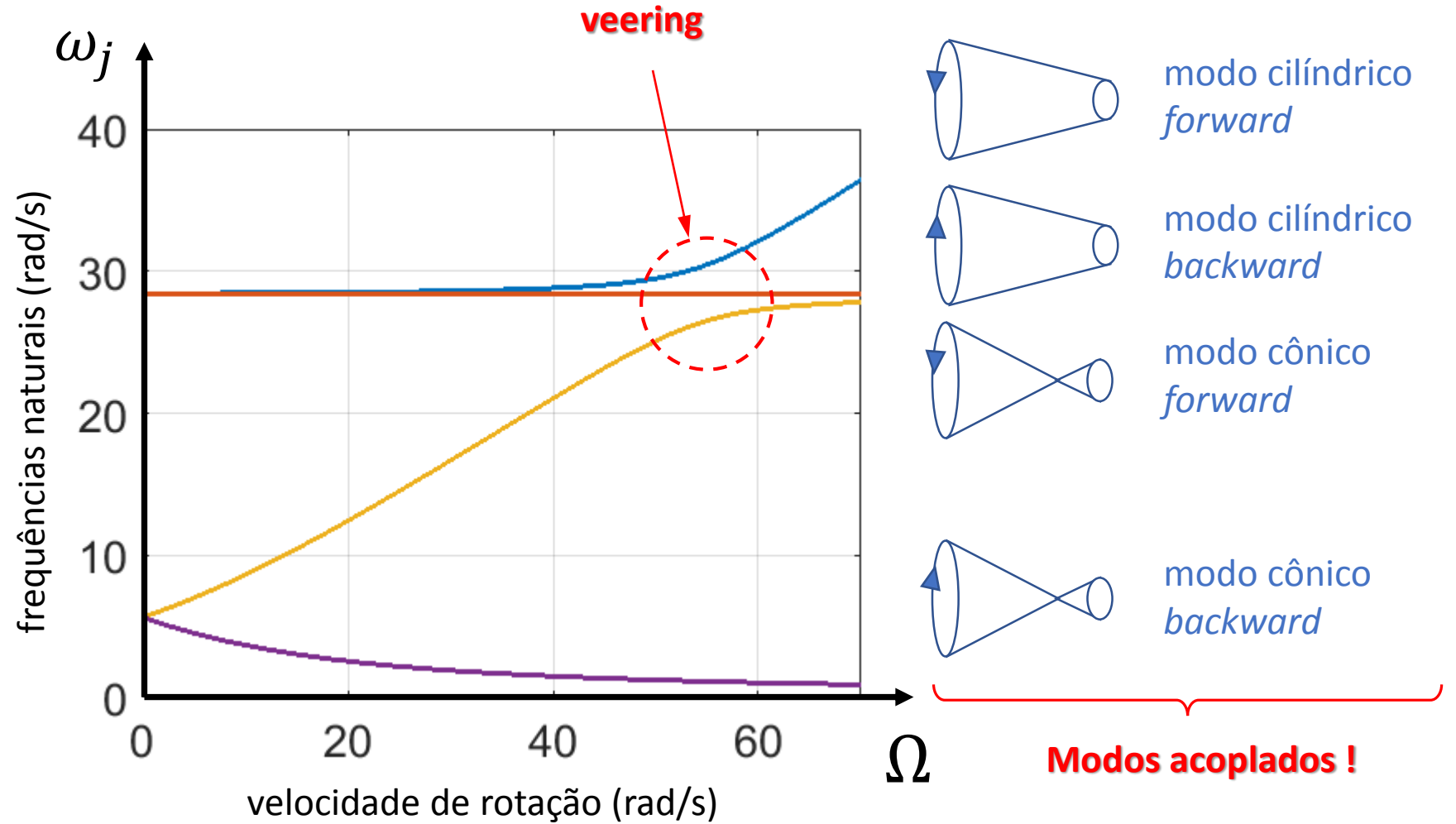
*excitação por desbalanço*

**Resposta ao Desbalanço**

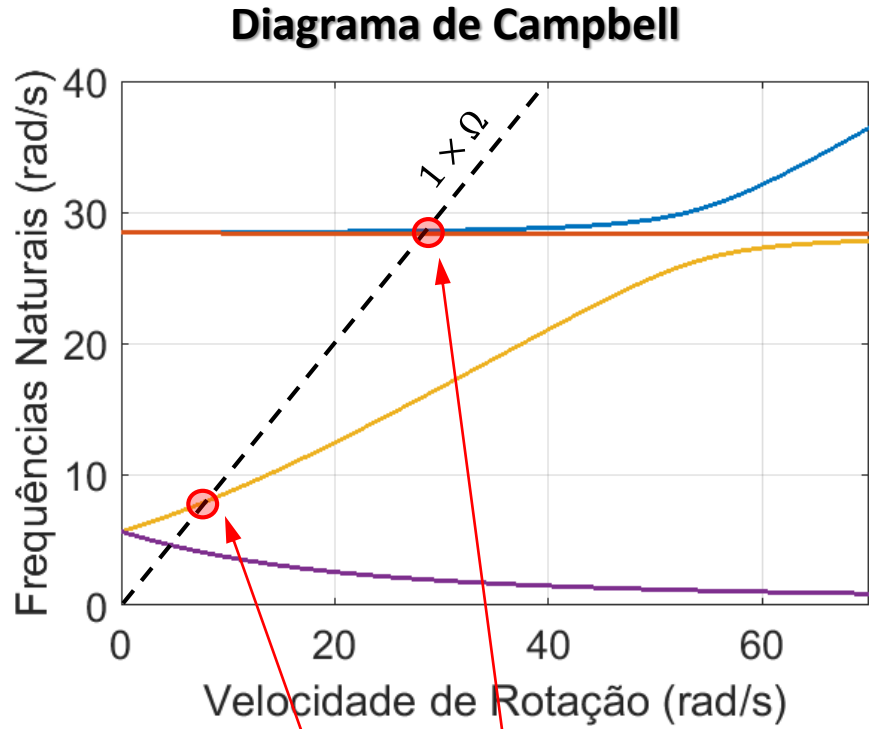


# Diagrama de Campbell (rotor assimétrico: $L_A \neq L_B$ )

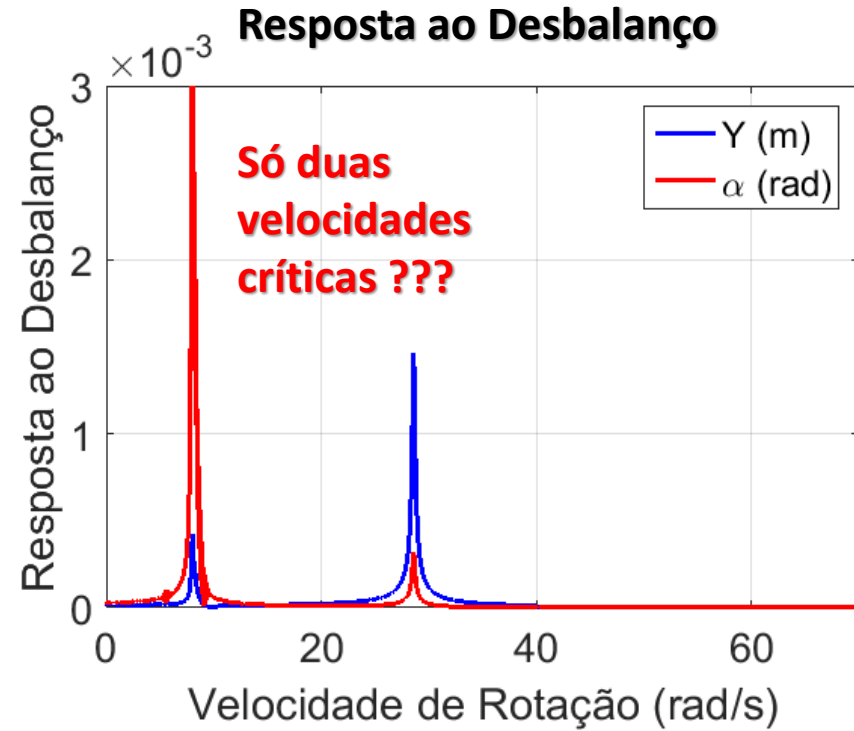
$L_A \neq L_B$   
 $L_A = 0,3 \text{ m}$   
 $L_B = 0,1 \text{ m}$   
 $I_p = 0,5 I_t$   
 $m = 1 \text{ kg}$   
 $k = 400 \text{ N/m}$   
 $d = 0$



# Resposta ao Desbalanço (rotor assimétrico: $L_A \neq L_B$ )

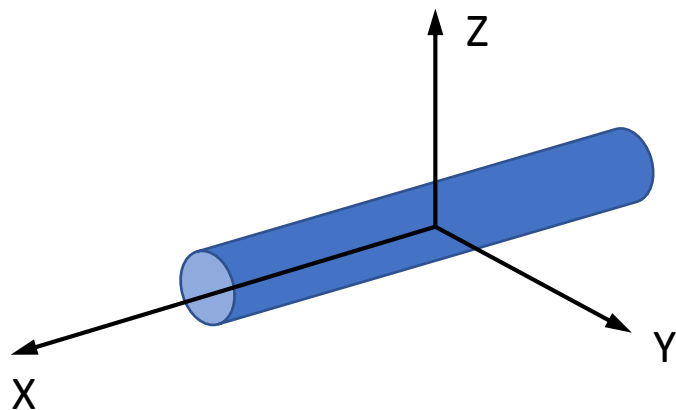


**velocidades críticas**  
(apenas modos forward !!!)

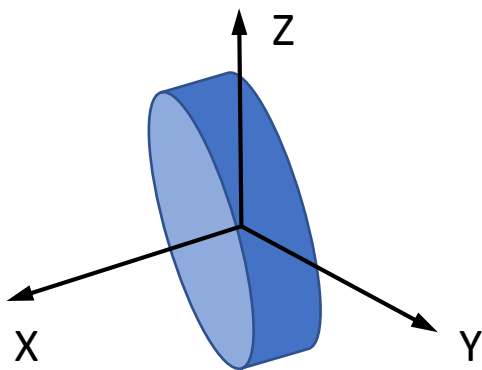


**Força de desbalanço não excita modos backward!!!**

# Efeito da Geometria do Rotor



$$\left. \begin{aligned} I_{xx} &= I_p = \frac{1}{2}mr^2 \\ I_{yy} &= I_{zz} = I_t = \frac{1}{4}mr^2 + \frac{1}{12}ml^2 \end{aligned} \right\} 0 < I_p < I_t$$



$$\left. \begin{aligned} I_{xx} &= I_p = \frac{1}{2}mr^2 \\ I_{yy} &= I_{zz} = I_t \approx \frac{1}{4}mr^2 \end{aligned} \right\} I_p \approx 2I_t$$

Assim, pode-se definir:

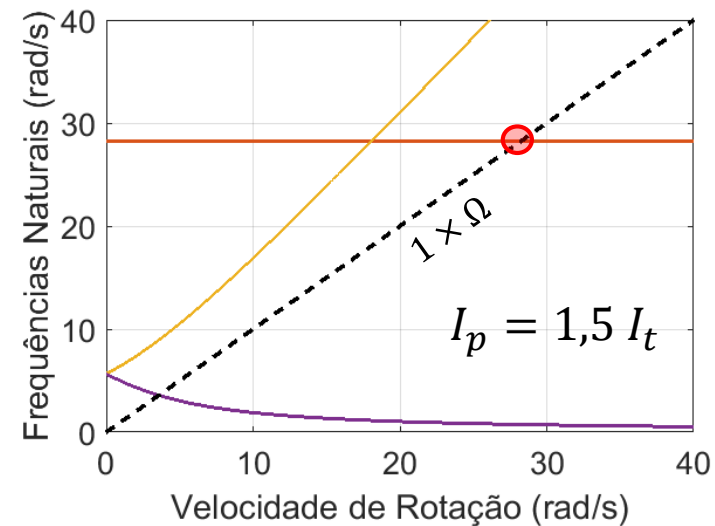
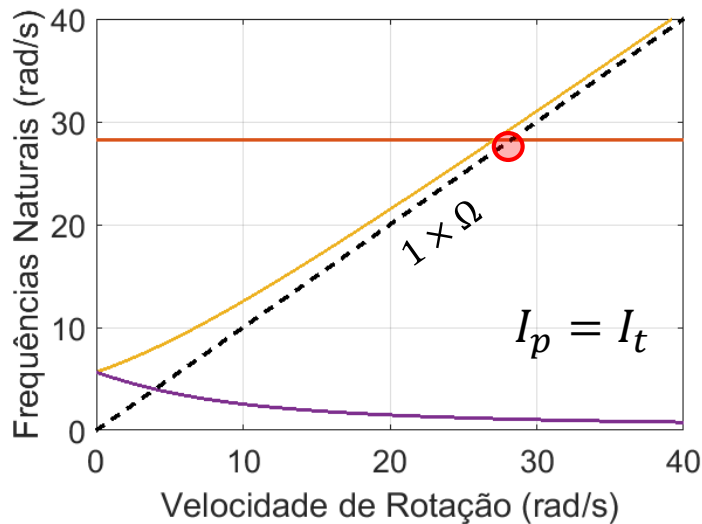
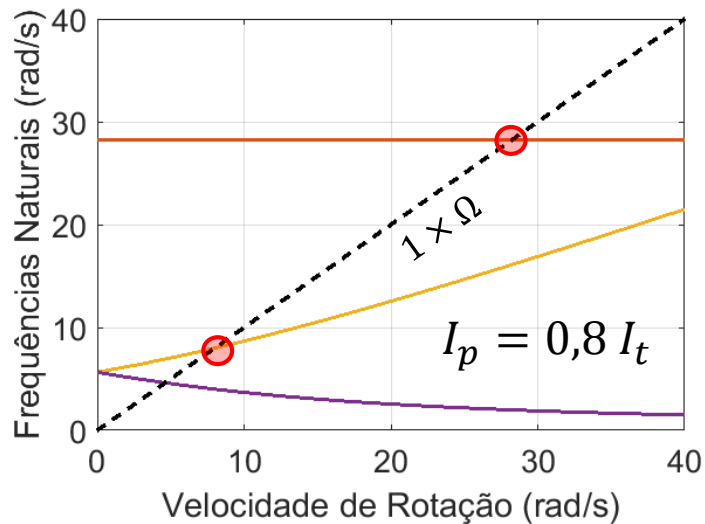
$$I_p = \gamma I_t, \quad 0 < \gamma \leq 2$$

$$\left\{ \begin{array}{ll} \gamma = 0 & \text{eixo longo e fino (arame)} \\ \gamma = 2 & \text{disco fino (casca redonda)} \end{array} \right.$$

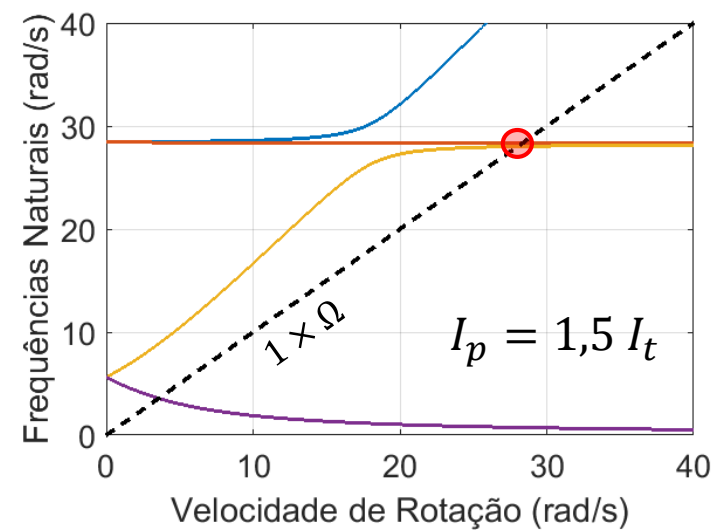
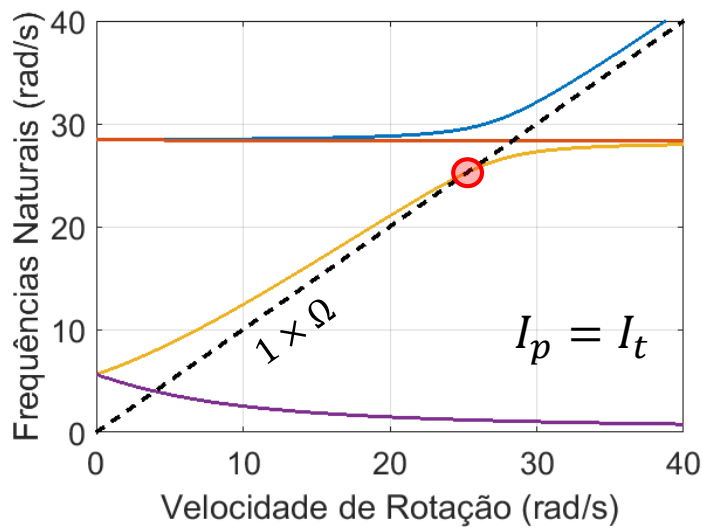
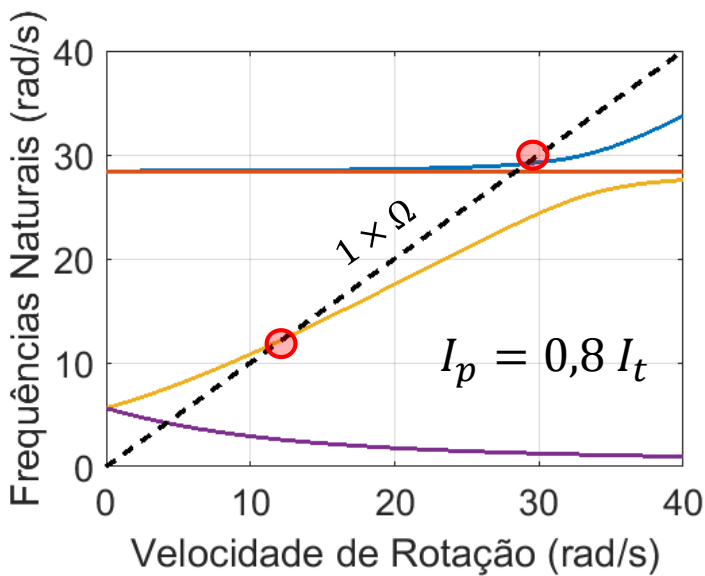


# Efeito da Geometria do Rotor

$L_A = L_B$

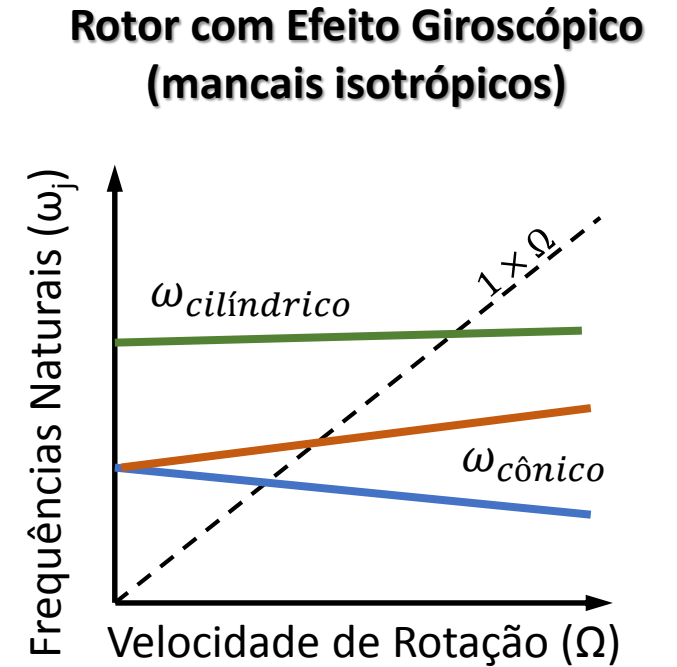
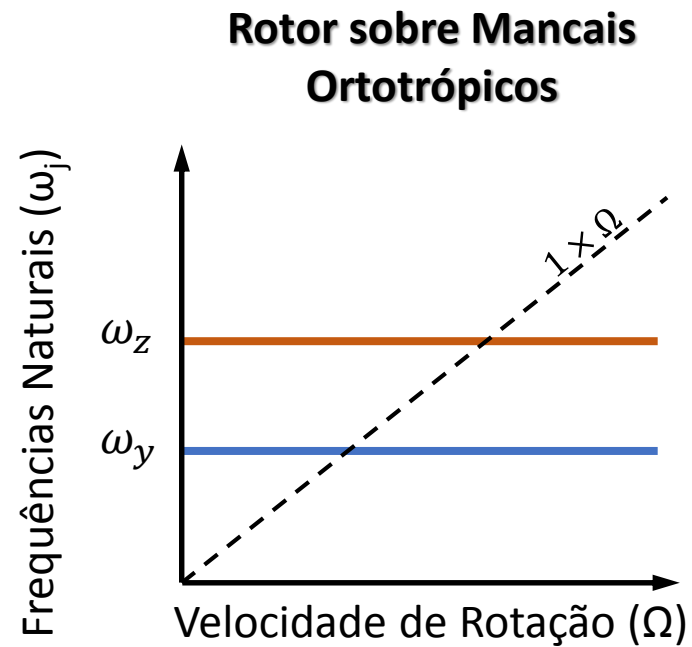
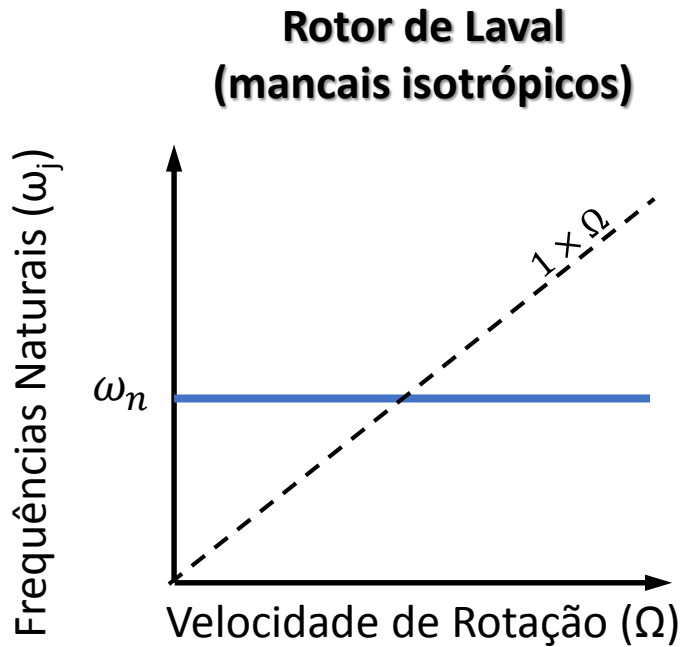


$L_A \neq L_B$



# Conclusão

- **Diagrama de Campbell** – gráfico importante para determinar velocidades críticas



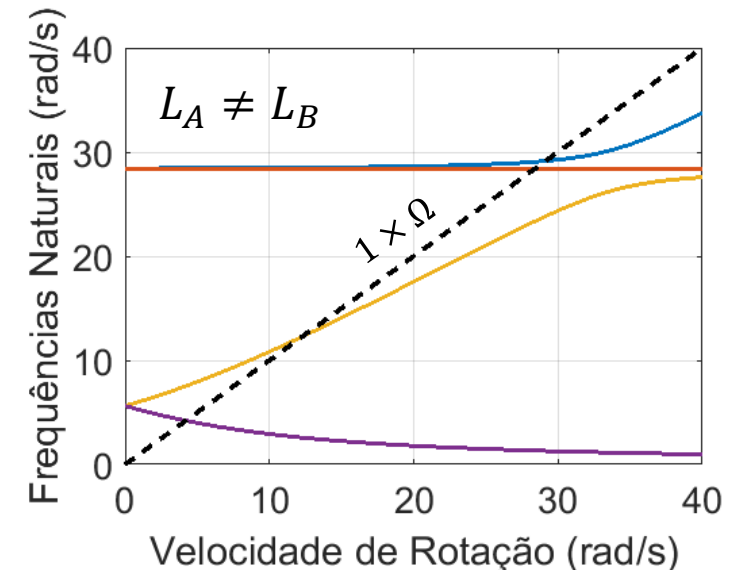
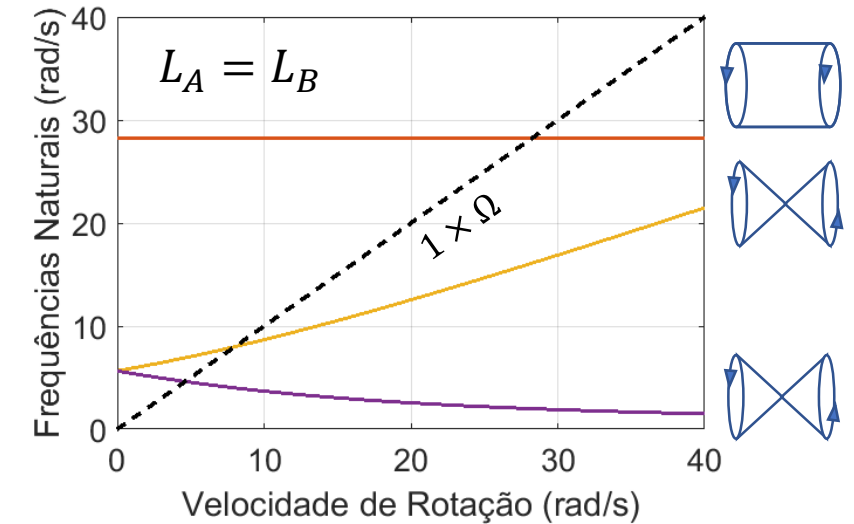
# Conclusão

- **Rotor Rígido sobre Mancais Isotrópicos e Efeito Giroscópico**

- dois modos cônicos e dois modos cilíndricos
- **efeito giroscópico “abre” as frequências dos modos cônicos** (*modos com rotação do plano do disco*)
- um dos modos é forward e o outro é backward
- frequência de **backward tende a zero** enquanto a frequência de **forward tende a infinito**
- velocidades críticas definidas nos cruzamentos com a linha  $1 \times \Omega$  (*desbalanço*)
- **desbalanço não excita modos de backward**

- **Caso  $L_A \neq L_B$**

- modos cônicos e modos cilíndricos são acoplados
- ocorre veering das frequências (frequências não se cruzam)



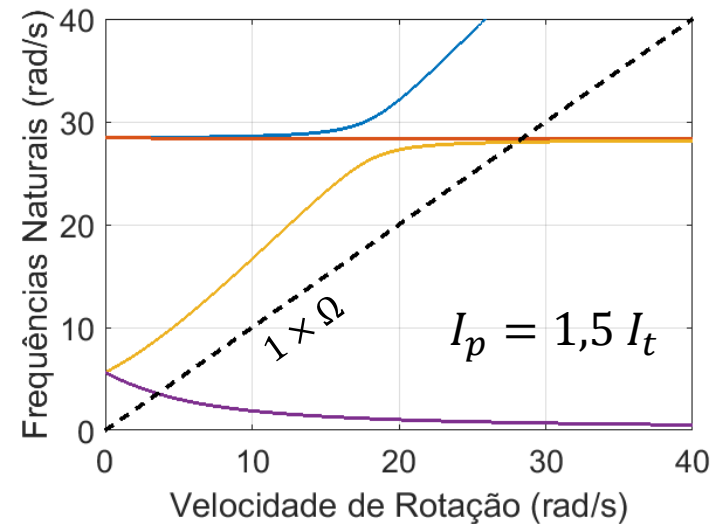
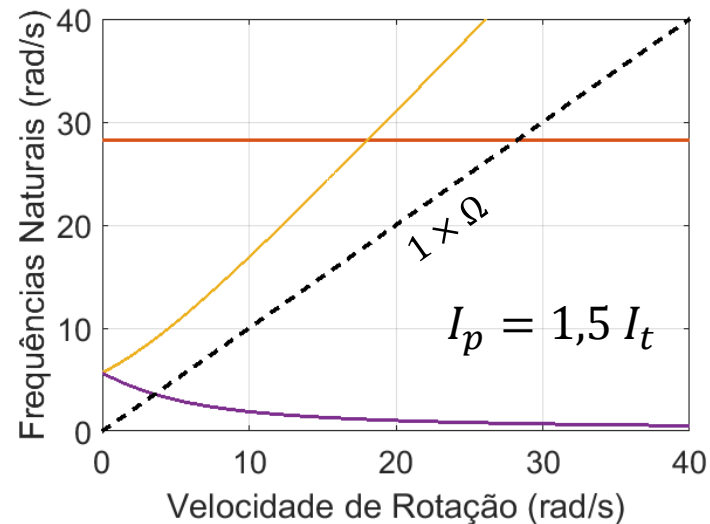
# Conclusão

- Efeito da geometria do eixo

- Se  $I_p < I_t$ , modos cônicos e modos cilíndricos aparecem na resposta ao desbalanço

- Se  $I_p > I_t$ : **apenas modos cilíndricos** aparecem na resposta ao desbalanço do sistema  $L_A = L_B$

**apenas modos cônicos** aparecem na resposta ao desbalanço do sistema  $L_A \neq L_B$



**Dúvidas ?**

